

1005

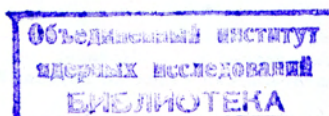
А  
Г  
Б  
У  
Д

ОБЪЕДИНЕННЫЙ  
ИНСТИТУТ  
ЯДЕРНЫХ  
ИССЛЕДОВАНИЙ

СЗМ  
0-292

С. Р. 20067

О Т Ч Е Т  
о деятельности объединенного института  
ядерных исследований в 1965 году



Дубна 1966

## ЦЕЛИ И ЗАДАЧИ ОБЪЕДИНЕННОГО ИНСТИТУТА ЯДЕРНЫХ ИССЛЕДОВАНИЙ

Объединенный институт ядерных исследований имеет своей целью:

обеспечение совместного проведения теоретических и экспериментальных исследований в области ядерной физики учеными государств - членов Института;

содействие развитию ядерной физики в государствах - членах Института путем обмена опытом и достижениями в теоретических и экспериментальных исследованиях;

поддержание связи с заинтересованными национальными и международными научно-исследовательскими и другими организациями в деле развития ядерной физики и изыскания новых возможностей мирного применения атомной энергии;

содействие всестороннему развитию творческих способностей научно-исследовательских кадров государств - членов Института.

Всей своей деятельностью Институт будет содействовать использованию ядерной энергии только для мирных целей на благо всего человечества .

Устав ОИЯИ, глава II

Научно-исследовательская, методическая и научно-организационная деятельность Объединенного института ядерных исследований в 1965 году проводилась в соответствии с планами, утвержденными Ученым Советом ОИЯИ на его XVII сессии:

- планами научно-исследовательских и методических работ лабораторий;
- планом сотрудничества и совместных работ, проводимых ОИЯИ и институтами стран-участниц;
- планом поездок сотрудников ОИЯИ в страны-участницы.

При утверждении планов научно-исследовательских и методических работ лабораторий Ученый Совет отметил как наиболее важные следующие направления:

по Лаборатории высоких энергий

1. Исследование упругого рассеяния частиц в широком интервале энергий и углов.
2. Исследование резонансных взаимодействий частиц.
3. Исследование редких распадных процессов К-мезонов.
4. Продолжение работ по созданию в лаборатории измерительного центра и комплекса аппаратуры, необходимой для полной автоматизации обработки камерных фотографий.
5. Запуск двухметровой пропановой камеры в 3-Гэвном антипротонном канале и получение на ней экспериментального материала.
6. Запуск однометровой жидкководородной пузырьковой камеры.
7. Запуск 5-Гэвного антипротонного канала.
8. Продолжение работ по созданию двухметровой жидкководородной пузырьковой камеры.
9. Продолжение перспективных работ по повышению интенсивности ускоренного пучка и совершенствованию работы синхрофазотрона. Основой этого направления деятельности лаборатории является продолжение работ по созданию нового сильноточного инжектора синхрофазотрона - линейного ускорителя с жесткой фокусировкой.
10. Продолжение исследовательских и подготовительных работ по выводу ускоренного пучка протонов из ускорителя, в направлении которого запланировано сооружение нового измерительного павильона.

## ЛАБОРАТОРИЯ ВЫСОКИХ ЭНЕРГИЙ

В 1965 году научно-исследовательская деятельность ЛВЭ в соответствии с планом работ Лаборатории, утвержденным Ученым Советом ОИЯИ, проводилась по следующим направлениям.

### Исследования упругого рассеяния частиц больших энергий

1) Упругое  $pp$ -рассеяние на малые углы. Эти исследования проводились совместно ЛВЭ и лабораториями НРБ, МНР и ЧССР и в настоящее время в основном завершены. Получены детальные экспериментальные данные о свойствах дифференциальных сечений упругого  $pp$ -рассеяния в области интерференции кулоновского и ядерного рассеяний. Анализ этих данных позволил получить сведения о свойствах и энергетическом поведении отношения  $a_{pp}$  реальной и мнимой частей амплитуды упругого  $pp$ -рассеяния в интервале энергий от 2 до 10 Гэв (рис. 1). Найдено соответствие этих данных предсказаниям теории дисперсионных соотношений. В настоящее время совместно с ЛЯП ОИЯИ и лабораториями ЧССР осваивается методика регистрации протонов отдачи с помощью полупроводниковых детекторов, что является важным этапом в подготовке к проведению опытов по этой проблеме на 70-Гэвном ускорителе ИФВЭ в Серпухове. На рис. 2 представлены энергетические распределения протонов отдачи, полученные с помощью полупроводниковых детекторов. Полупроводниковые детекторы были использованы также при исследованиях  $pp$ - и  $pd$ -рассеяния на малые углы при энергии протонов 4 Гэв (рис. 3). Результаты показали высокую надежность метода и возможность существенного улучшения экспериментальных данных.

2) Работа по детальному исследованию  $pd$ -рассеяния на малые углы с целью получения информации об амплитуде  $pp$ -рассеяния была начата в 1965 году. Облучения с фотоэмulsionционными детекторами проведены при энергиях 1, 2, 4, 6, 8 и 10 Гэв. Анализ рассеяния при энергиях 2 и 10 Гэв производился в Дубне, при энергиях 1 и 6 Гэв - в Болгарии, при энергии 8 Гэв - в Чехословакии, при 4 Гэв - в Монголии и ДРВ. Были измерены дифференциальные сечения упругого  $pd$ -рассеяния при всех энергиях, указанных выше (с несколько меньшей статистикой - при 1 Гэв). При этом всего было зарегистрировано 220000 случаев упругого  $pd$ -рассеяния. Проделанные измерения позволили определить реальную часть амплитуды  $pd$ -рассеяния при энергиях 2, 6, 8 и 10 Гэв и извлечь из этих данных сведения о величине реальной части амплитуды  $pp$ -рассеяния.

Реальная часть амплитуды  $pp$ -рассеяния в этой области энергий (в рамках принятой глауберовой модели дейtron'a) имеет примерно ту же величину и тот же знак, что

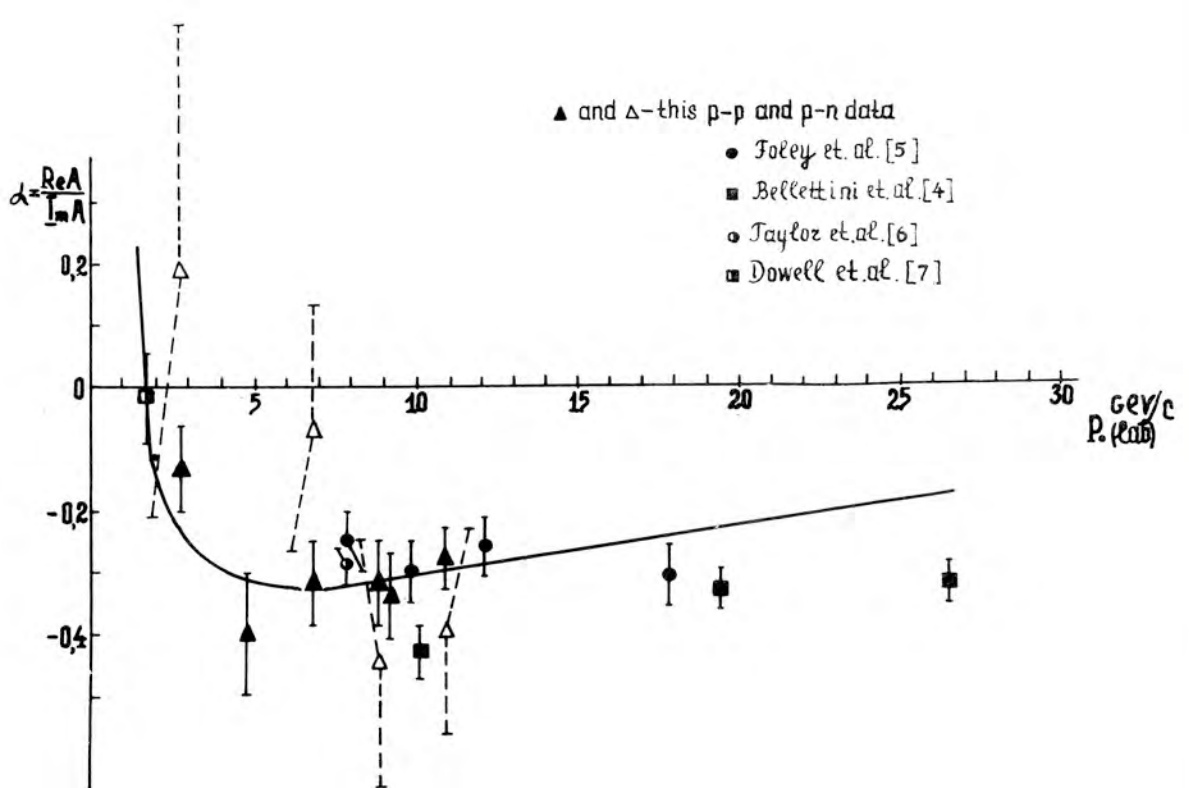


Рис. 1. Зависимость отношения вещественной части амплитуды рассеяния вперед к мнимой от энергии для  $p-p$  - и  $p-n$  - рассеяний;  $\blacktriangle$  и  $\Delta$  - данные ЛВЭ для  $p-p$  - и  $p-n$  - рассеяний, соответственно.

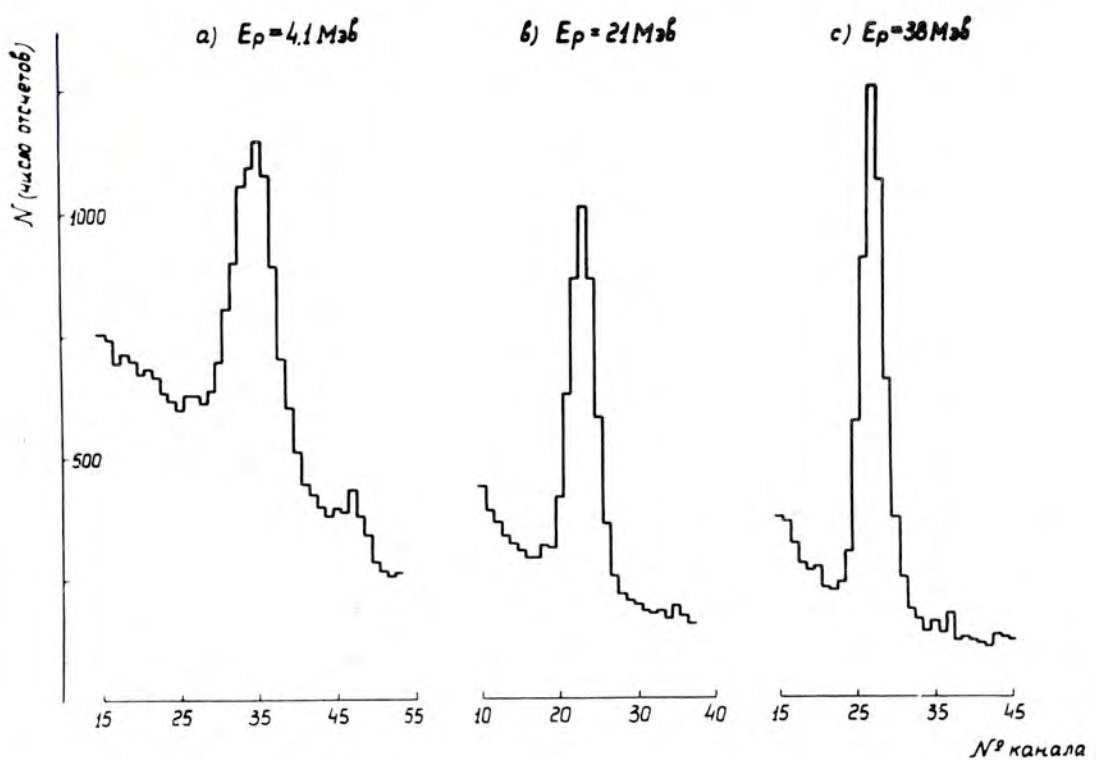


Рис. 2. Энергетические спектры частиц, вылетающих из мишени  $(CH_2)_n$  под углами, где энергии протонов отдачи в реакции упругого рассеяния равны: а) 4,1 Мэв, б) 21 Мэв, в) 38 Мэв.

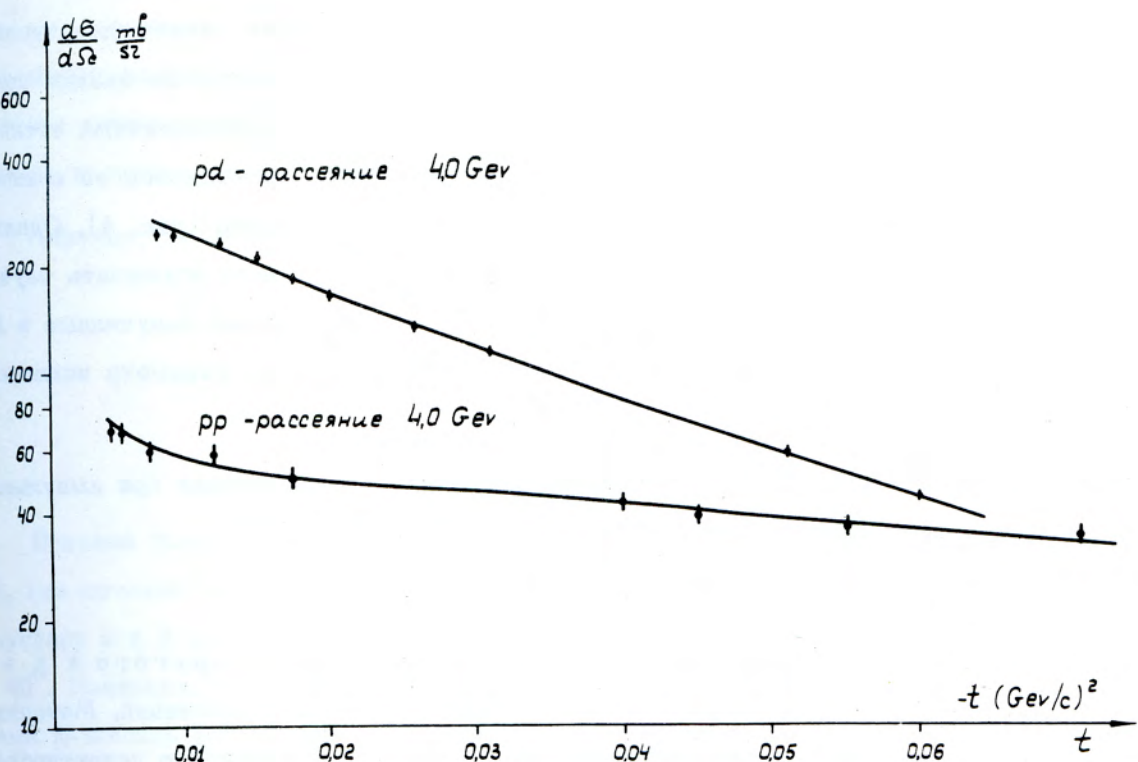


Рис. 3. Дифференциальные сечения  $p-p$ -и  $p-d$ -рассеяния, измеренные с помощью полупроводниковых детекторов.

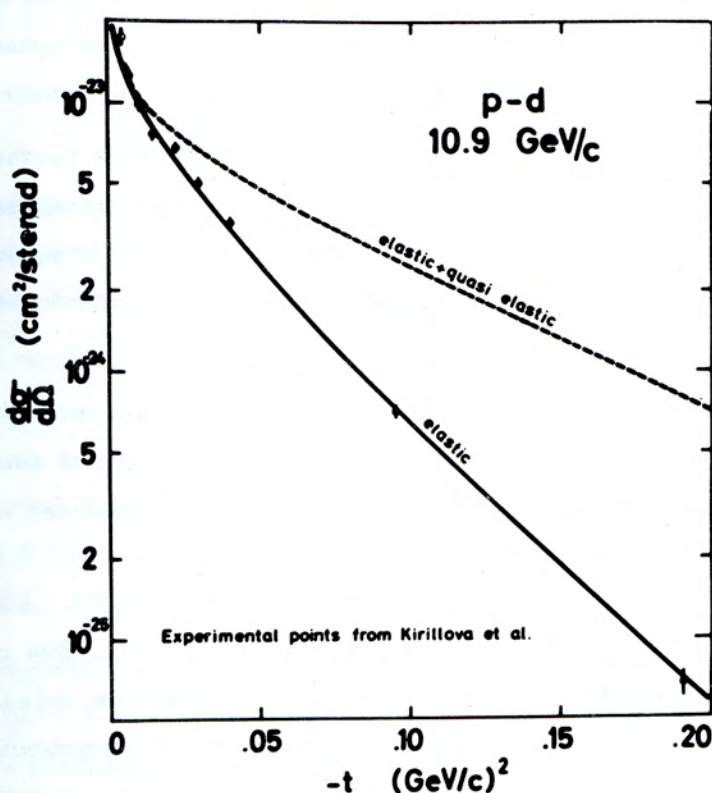


Рис. 4. Кривые дифференциального сечения  $p-d$ -рассеяния, характеризующие разрешение перновской (пунктирная кривая) и дубненской (сплошная кривая) установок для измерения упругих процессов в области высоких энергий.

и в амплитуде  $\pi\pi$ -рассеяния (рис. 1). По результатам совместной работы перечисленных выше групп был представлен доклад на Оксфордскую конференцию по физике высоких энергий. На этой же конференции были доложены результаты аналогичных исследований, выполненных в ЦЕРНе. Исследования  $\pi^+$ -рассеяния проводились на внешнем пучке протонов с импульсом 10,3 Гэв/с с помощью искровых камер (рис. 4). Однако несовершенство методики, примененной в этих опытах, не позволило исключить случаи  $\pi^+$ -рассеяния, связанные с развалом дейтрона. По этой причине полученные в ЛВЭ дифференциальные сечения существенно отличаются от первоначальных: параметр наклона дубненских кривых намного больше.

Авторы делают оценку реальной части амплитуды  $\pi^+$ -рассеяния при импульсе 10,3 Гэв/с и приходят к аналогичному выводу:

$$\alpha_{\pi\pi} \approx \alpha_{\pi p} \approx 0,3.$$

3) Исследование дифференциального сечения упругого  $\pi^-$ -рассеяния в области интерференции кулоновского и ядерного рассеяний. Методикой облучения камеры Вильсона в высокоинтенсивном пучке  $\pi^-$ -мезонов с детектированием протонов отдачи этот процесс изучен при импульсе  $\pi^-$ -мезонов 3,5 Гэв/с. В интервале  $1,22 \cdot 10^{-3} \leq t \leq 4,22 \cdot 10^{-3}$  (Гэв/с)<sup>2</sup> исследовано поведение сечения и найдена величина отношения реальной и мнимой частей амплитуды рассеяния  $\alpha_{\pi^- p}^{\text{эксп.}}$ :  $\alpha_{\pi^- p}^{\text{эксп.}} = - (0,32 \begin{array}{l} -0,13 \\ +0,18 \end{array})$ . Результаты этой работы были доложены в Ереване и Оксфорде (1965 г.). В настоящее время завершается обработка материала, и статистическая точность будет существенно улучшена. Предварительно получено:

$\alpha_{\pi^- p}^{\text{эксп.}} = - (0,29 \begin{array}{l} -0,09 \\ +0,11 \end{array})$  (рис. 5). Расчеты по дисперсионным соотношениям дают  $\alpha_{\pi^- p}^{\text{теор.}} = - 0,165 - 0,135$ . Поскольку речь идет о проверке фундаментальных положений современной теории, исследования в этом направлении будут продолжены при других энергиях как старой методикой, так и, возможно, с помощью более совершенной методики с использованием искровых камер.

4) С целью изучения процесса перезарядки в  $\pi^-$ -взаимодействиях при 3,5 Гэв/с проведено облучение систем искровых камер и счетчиков разработанных совместно лабораториями ПНР, ЧССР и ЛВЭ. Обработка материалов облучения заканчивается в Варшаве и Праге.

5. Измерение сечений упругого  $\pi^+$ -рассеяния на  $180^\circ$  при импульсах  $\pi^+$ -мезонов, равных 3,15, 4,10 и 4,85 Гэв/с. Эта серия труднейших работ, важных для понимания механизма реакций с большими передаваемыми импульсами, впервые была начата ЛВЭ. Исследования проводились с использованием систем сцинтиляционных и черенковских счетчиков и искровых камер с магнитным спектрометром и жидколоводорожной мишенью (рис. 6). Детектировались как протон отдачи, так и рассеянный назад  $\pi^+$ -мезон. Спектры импульсов протонов отдачи от упругого

$\pi^+ p$  - рассеяния на  $180^\circ$  при импульсе 3,15 Гэв/с, экспериментально полученный (гистограмма) и ожидаемый (сплошная кривая), приведены на рис. 7. Получены следующие значения дифференциальных сечений упругого  $\pi^+ p$  -рассеяния на углы  $\approx 180^\circ$  в интервале косинуса угла рассеяния от - 0,998 до - 1,00.

Импульс $\pi^+$ -мезона	$\frac{d\sigma}{d\Omega} (\pi^+ p)_{180^\circ}$
Гэв/с	мбарн/стерад
3,15	$99 \pm 12$
4,10	$74 \pm 11$
4,85	$37 \pm 12$

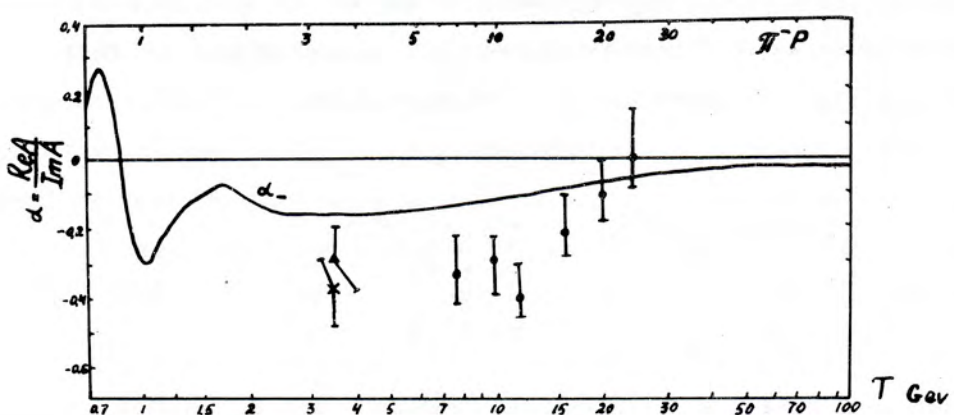
Впервые было показано, что в  $\pi^+ p$  -рассеянии на углы, близкие к  $180^\circ$ , имеется пик, где сечение примерно на порядок превосходит среднее сечение рассеяния в заднюю полусферу и в 3 раза превышает величины сечений в промежуточных интервалах углов около  $90^\circ$ . Показано, что с ростом энергии величина сечения заметно убывает. В последнее время появились публикации результатов исследований по этому вопросу, выполненных в других лабораториях, подтвердившие основные свойства данного процесса, установленные в ЛВЭ. Сейчас планируется завершение этих исследований с целью получения детальных сведений об упругом  $\pi^+ p$  -рассеянии на углы, близкие к  $180^\circ$ . Аналогичные исследования будут проведены и для  $\pi^- p$  -рассеяния с использованием техники бесфильмовых искровых камер с магнитным спектрометром.

#### Резонансные явления во взаимодействиях элементарных частиц

1) ЛВЭ совместно с лабораториями СРР на основе материалов, полученных при облучении 24-литровой пропановой пузырьковой камеры в пучке  $\pi^-$  -мезонов с импульсом 4 Гэв/с, выполнены следующие исследования.

Получено экспериментальное доказательство существования резонанса  $\Lambda^0 \eta$  с массой 1680 Мэв и квантовыми числами  $T = 0$ ,  $J = \frac{1}{2}$  при импульсе  $\pi^-$  -мезонов 4,0 Гэв/с (рис. 8, 9, 10 и 11). Эти данные подтверждают эксперимент (в котором впервые был обнаружен такой резонанс), выполненный в 1964 г. в  $\pi^- p$  -взаимодействиях при импульсе 7,8 Гэв/с. Существование резонанса  $\Lambda^0 \eta$  (1680) экспериментально подтверждено в США.

Имеется указание на существование резонансов:  $\Lambda^0 K^0$  с массой 1820 Мэв,  $\Lambda^0 K^+$  с массой 1700 Мэв и  $K^0 \bar{K}^0$  с массой 1040 Мэв. Экспериментальное подтверждение существования этих резонансов имеется в других взаимодействиях и при других энергиях (см. тезисы Оксфордской конференции 1965), выполненные в других лабораториях. Кроме того, получены данные о том, что резонанс (1385) образуется в 40% всех реакций, а ре-



Ф - ЛВЭ, Дубна, анализ по формулам Бете с учетом радиационной поправки, полуценной Соловьевым.

Г - ЛВЭ, Дубна, анализ тех же данных по формулам Бете без учета радиационной поправки.

І - K.I. Foley et al., Phys. Rev. Lett., 14, N 21, 862 (1965)  
Сплошная кривая рассчитана В.С. Барашенковым по дисперсионным соотношениям.

Рис. 5. Отношение реальной части амплитуды к мнимой для рассеяния вперед  $\pi^- p$ .

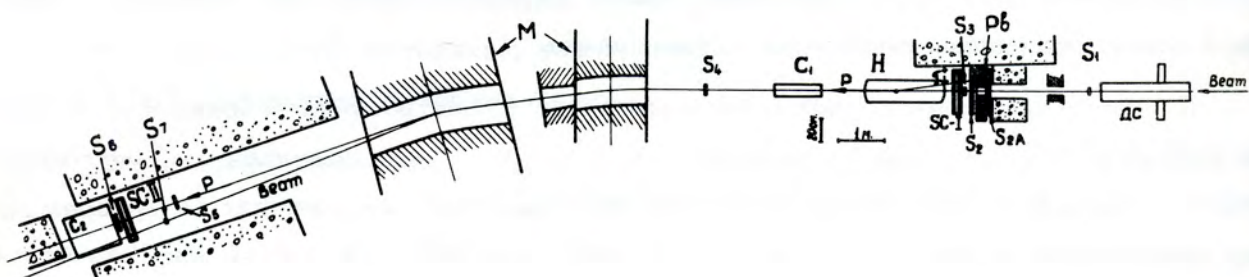


Рис. 6. Схема расположения аппаратуры для исследования  $\pi^+ p$ -рассеяния на  $180^\circ$ .

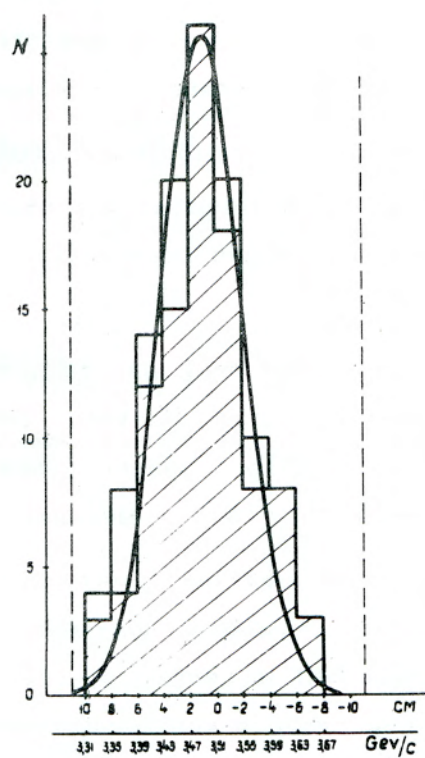


Рис. 7. Спектры импульсов протонов отдачи для упругого  $\pi^+ p$ -рассеяния на  $180^\circ$ .

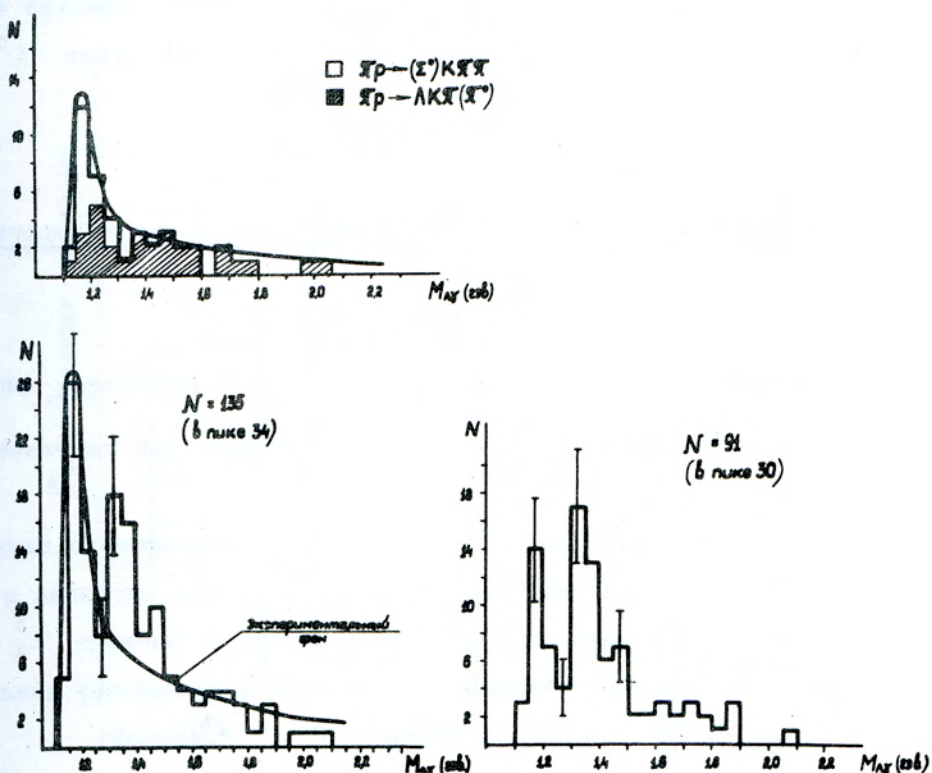


Рис. 8. Распределения эффективных масс  $M_{\Lambda\gamma}$  с учетом экспериментального фона.

зонанс (890) - в 35%. Имеется указание на то, что 8% всех реакций с 4-мя частицами в конечном состоянии идут через совместное рождение  $\Upsilon^* K^*$ . Реакции с образованием странных частиц при импульсе 4,0 Гэв/с согласуются с предсказаниями ОРЕ - модели.

2) Проведено облучение ксеноновой пузырьковой камеры в пучке  $\pi^+$ -мезонов с импульсом 2,5 Гэв/с. Получено 200000 фотографий. Ведется их обработка совместно с лабораториями ПНР и ВНР с целью изучения радиационных эффектов в распадах бозонных резонансов.

3) Проведено облучение 40-сантиметровой жидколоводородной пузырьковой камеры в пучке  $\pi^+$ -мезонов с импульсом 2,5 Гэв/с. Получено 160000 фотографий. Ведется их обработка совместно с лабораториями НРБ с целью изучения свойств бозонных резонансов, в первую очередь, - выяснения свойств  $A_1$ -мезона.

4) Проведено и будет продолжено облучение метровой пропановой камеры в пучке  $\pi^-$ -мезонов с импульсом 5 Гэв/с. Обработка полученных материалов проводится совместно ЛЯП, ЛВЭ и лабораториями ВНР с целью изучения радиационных эффектов в распадах резонансов, в первую очередь свойств комбинаций вида  $\Lambda\gamma$ ,  $\Lambda 2\gamma$ ,  $K\gamma$  и т.д.

5) Завершены исследования распадов  $\omega^0 \rightarrow \pi^0\gamma$  на материалах облучения ксеноновой пузырьковой камеры  $\pi^-$ -мезонами с импульсом 9 Гэв/с.

6) Завершается подготовка аппаратуры с искровыми камерами и черенковскими счетчиками полного поглощения для исследования радиационных эффектов в распадах бозонных резонансов. Планируется исследование процессов распада типа  $X^0 \rightarrow 2\gamma$ ,  $X^0 \rightarrow e^+ e^-$  и т.д.

### Неупругие процессы при взаимодействии частиц больших энергий

По этому разделу завершаются работы, начатые ранее:

1) изучение генерации  $\pi^0$ -мезонов в  $\pi^- p$ -взаимодействиях при импульсе 4 Гэв/с;

2) анализ 4-лучевых событий в  $\pi^- p$ -взаимодействиях при импульсе 7,5 Гэв/с (совместно с CPP);

3) в связи с обнаружением распада  $K_2^0 \rightarrow \pi^+ \pi^-$ , означающего нарушение СР-инвариантности слабых взаимодействий, анализировалась общая ситуация в этой проблеме. Показано, что в наиболее общем виде свойства амплитуд распада  $K_2^0 \rightarrow \pi^+ \pi^-$  могут быть выяснены в наборе регенерационных опытов, а также при анализе временной зависимости трехчастичных лептонных распадов  $K^0$ -мезонов;

4) неупругие  $\pi^- n$ -взаимодействия при импульсе 7 Гэв/с (совместно с ЧССР);

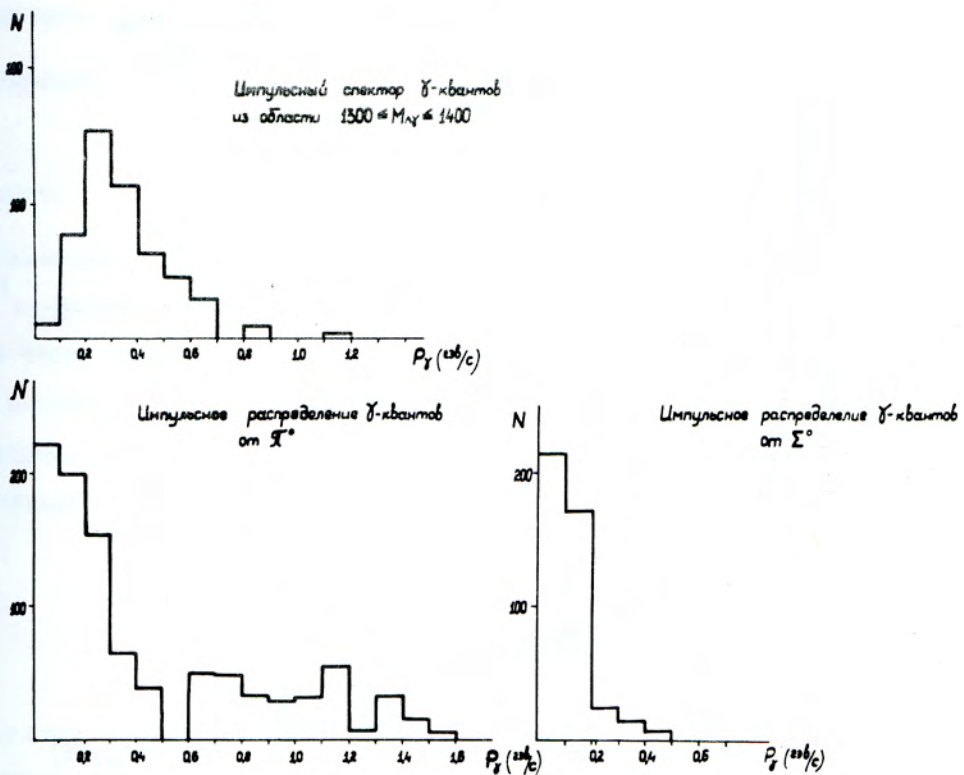


Рис. 9. Импульсные распределения  $\gamma$ -квантов от распада  $\pi^0$ -мезонов,  $\Sigma^0$ -гиперонов и спектр  $\gamma$ -квантов из исследуемой области эффективных масс  $1300 \leq M_{\Lambda\gamma} \leq 1400$  Мэв.

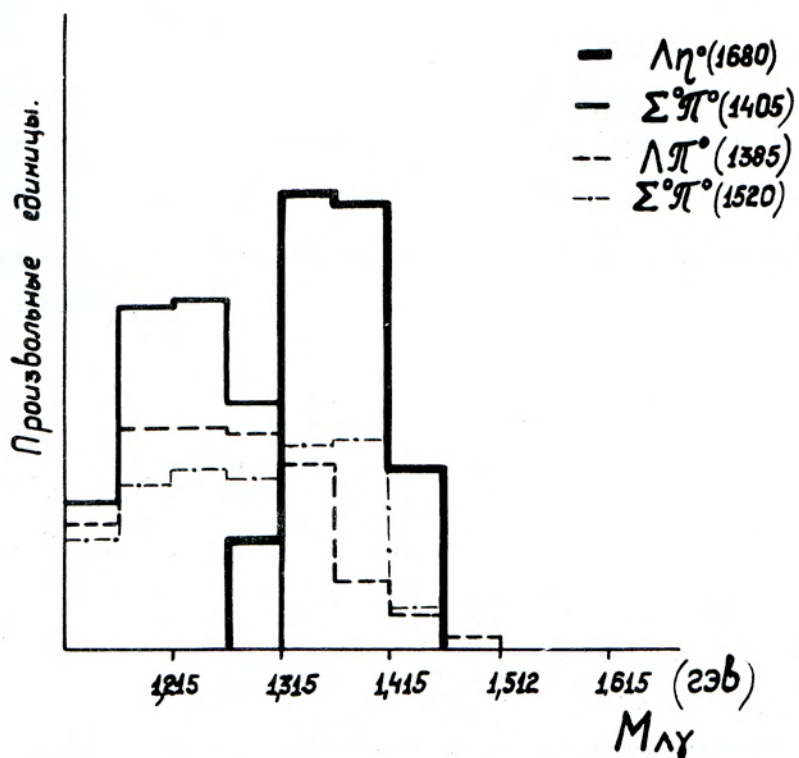


Рис. 10. Распределения эффективных масс в системе  $\Lambda\gamma$  от известных резонансов.

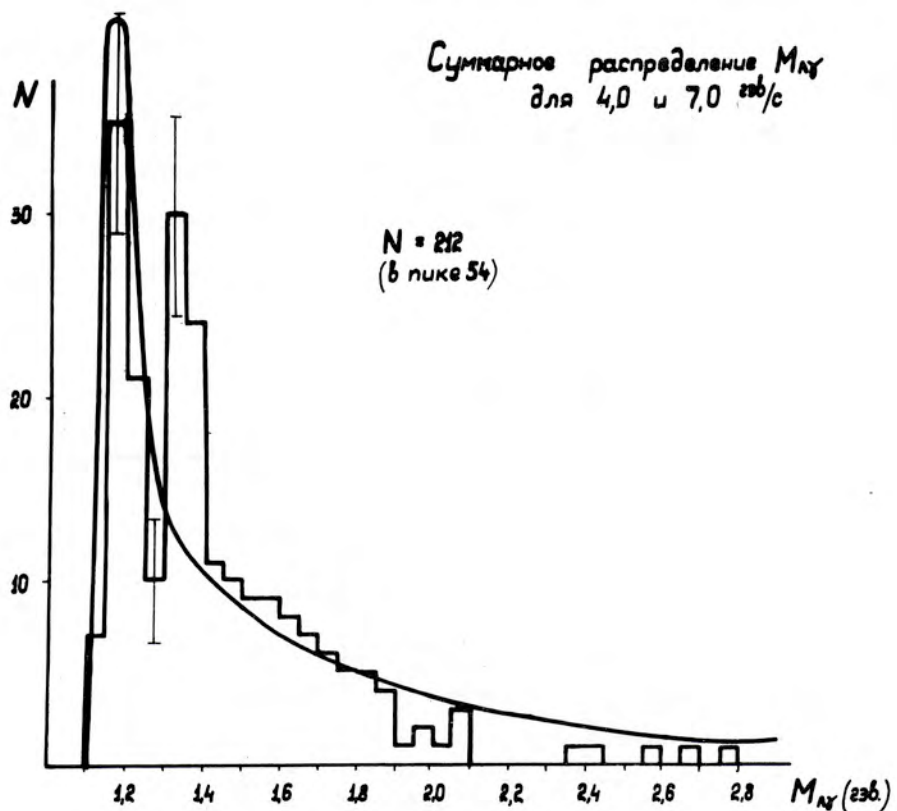


Рис. 11. Суммарное распределение эффективных масс  $M_{\Lambda}$  в экспериментах с пучками  $\pi^-$ -мезонов с импульсом 4 Гэв/с и 7 Гэв/с.

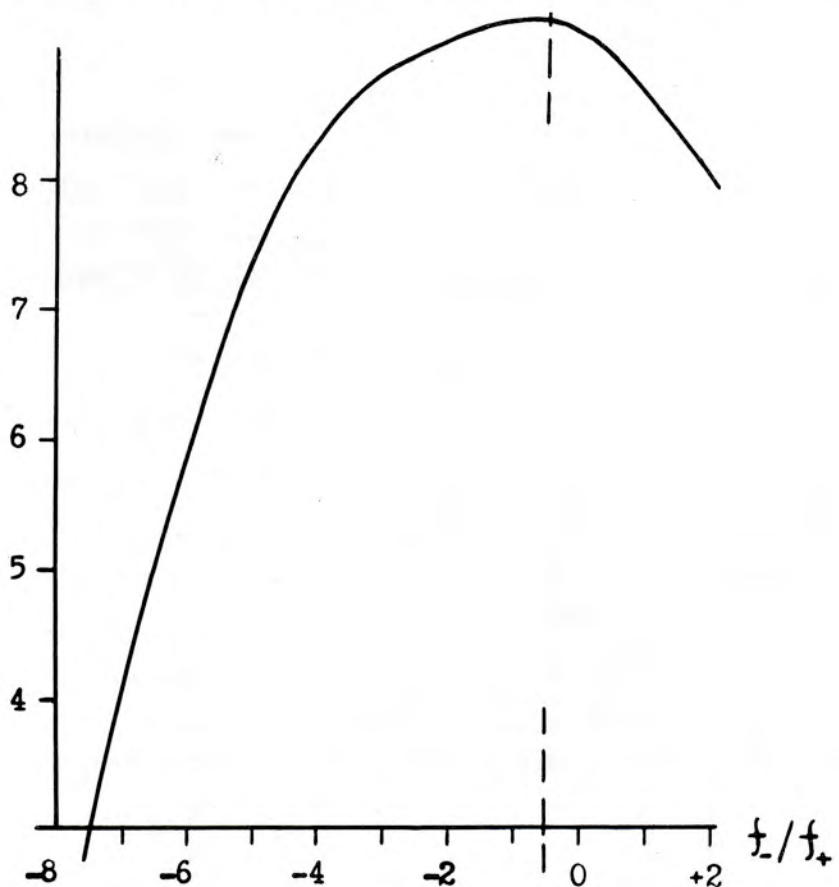


Рис. 12. График  $\ln \frac{L}{K^+}$  функции максимального правдоподобия для основной группы слу- чаев  $K^+$ -распадов.

- 5) генерация странных частиц при взаимодействии  $\pi^-$ -мезонов с импульсом 9 Гэв/с с ядрами ксенона (совместно с ПНР);
- 6) генерация странных частиц в нейтрон-протонных взаимодействиях при больших энергиях;
- 7) упругое пр-взаимодействие при больших энергиях (совместно с CPP).
- 8) на имевшемся в ЛВЭ экспериментальном материале завершены исследования упругого  $\Lambda^0_p$ -рассеяния при среднем импульсе  $\Lambda^0$ -гиперонов, равном 2,7 Гэв/с. Полное сечение этого процесса найдено равным  $(15 \pm 4)$  мб. Совместный анализ этого результата с результатами ранее проведенных исследований при меньших значениях импульса  $\Lambda^0$ -гиперона показывает, что в модели одномезонного обмена лучшее соответствие экспериментальных данных имеется со следствиями модели обмена  $\omega^0$ -мезоном.

#### Слабые взаимодействия

- 1) Исследования трехчастичных лептонных распадов  $K^+$ -мезонов. Завершена обработка экспериментальных данных с целью определения отношения формфакторов  $\xi = f^-/f^+$  в  $K_{\mu_3}^+$ -распадах, а также энергетической структуры формфактора в  $K_{e_3}^+$ -распаде (рис. 12).
- 2) Завершены работы по исследованиям распадных свойств  $K_2^0$ -мезонов.

Для осуществления вышеуказанной научной программы было просмотрено около 400 тысяч фотографий с камер и обмерено на полуавтоматах более 130 тысяч треков. Обработка трековых данных велась на электронных вычислительных машинах ВЦ ОИЯИ.

- 3) Велись методические подготовительные работы для проведения исследований распадов по схемам:  $K^+ \rightarrow \pi\pi\gamma$ ,  $K_2^0 \rightarrow 2\gamma$ .

**III. РАБОТА ОСНОВНЫХ УСТАНОВОК И СОЗДАНИЕ  
ЭКСПЕРИМЕНТАЛЬНОЙ АППАРАТУРЫ В 1965 ГОДУ**

## ЛАБОРАТОРИЯ ВЫСОКИХ ЭНЕРГИЙ

Научно-методические работы, находящиеся в стадии физической наладки

1. Высокоинтенсивный пучок  $\pi^-$  - мезонов. В первом полугодии 1965 года была завершена наладка высокоинтенсивного пучка  $\pi^-$  - мезонов (модернизация пучка  $M_3$ ).

Пучок имеет следующие характеристики:

- а) импульс  $4 \div 7$  Гэв/с;
- б)  $\frac{\Delta p}{p} = \pm 0,01$ ;
- в) входная апертура  $- 4 \cdot 10^{-4}$  стерад;
- г) ширина изображения по вертикали - 35 мм;  
- " - по горизонтали - 30 мм;
- д) расходимость  $0,5^\circ$ ;
- е) интенсивность  $10^4 \pi^- / 10^{10} p$  (при импульсе  $\pi^-$  - мезонов 4 Гэв/с).

2. Пучок  $A_1$  (антипротоны с импульсом до 3 Гэв/с). В течение первого полугодия завершена наладка канала, где для очистки частиц используется двухкаксадная электростатическая сепарация. Схема канала показана на рис. 41.

При работе канала в режиме сепарации антипротонов получены следующие характеристики:

- а) импульс частиц - 2,81 Гэв/с;
- б)  $\Delta p/p = \pm 0,008$ ;
- в) входная апертура  $1 \cdot 10^{-4}$  стерад;
- г) размер изображения по вертикали (в плоскости сепарации) на 1-ой массовой щели - 3,4 мм;
- д) коэффициент сепарации (отношение сепарации к ширине изображения) - 3,5;
- е) размер изображения по горизонтали на первой массовой щели - 8 мм;
- ж) размер изображения по вертикали на второй массовой щели - 3,3 мм;
- з) коэффициент сепарации на второй массовой щели - 3 (рис. 42);
- и) ширина изображения по горизонтали - 4 мм;
- к) число антипротонов на второй массовой щели  $8 - 10/10^{11} p$ ;
- л) состав пучка после второй массовой щели на 1  $p \approx 0,1\pi^-$ .

Проводятся работы по улучшению параметров пучка и отладка режима его совместной работы с 2-метровой пропановой камерой.

3. Пучок  $A_2$  (антипротоны с импульсом 5 Гэв/с). В течение первого полугодия была проведена наладка с пучком всех устройств электродинамического сепаратора частиц высоких энергий ЛВЭ.

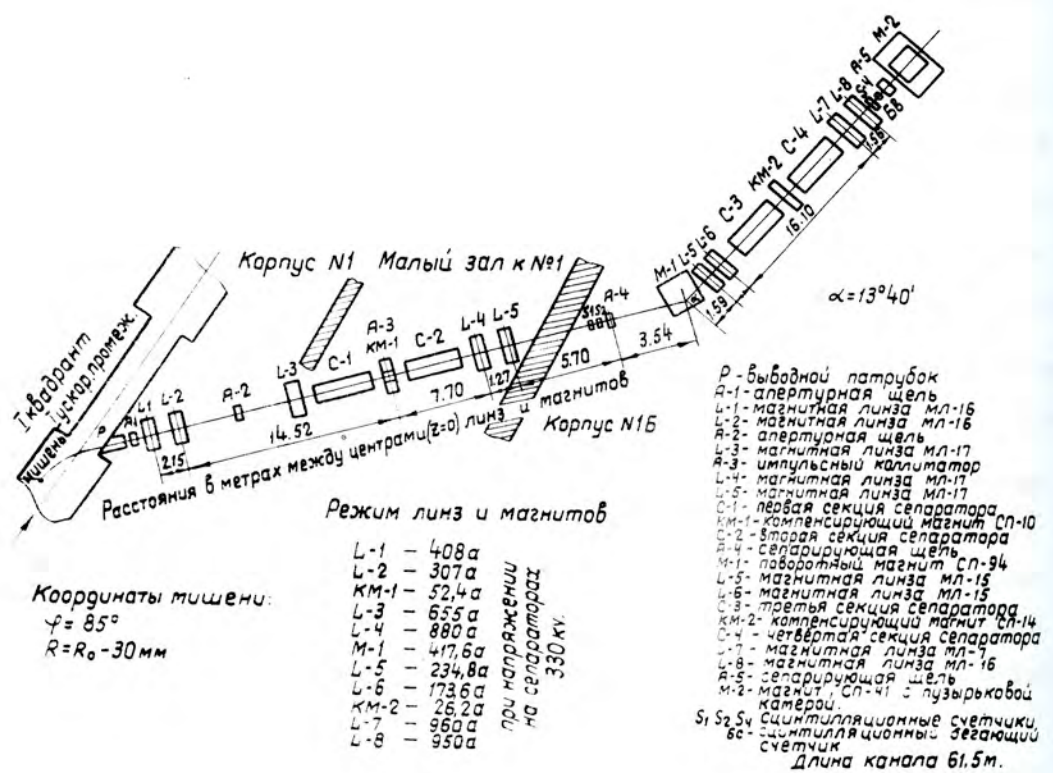


Рис. 41 Схема расположения оборудования антiproтонного канала с  $p_c = 2,81 \text{ Гэв/с}$ .

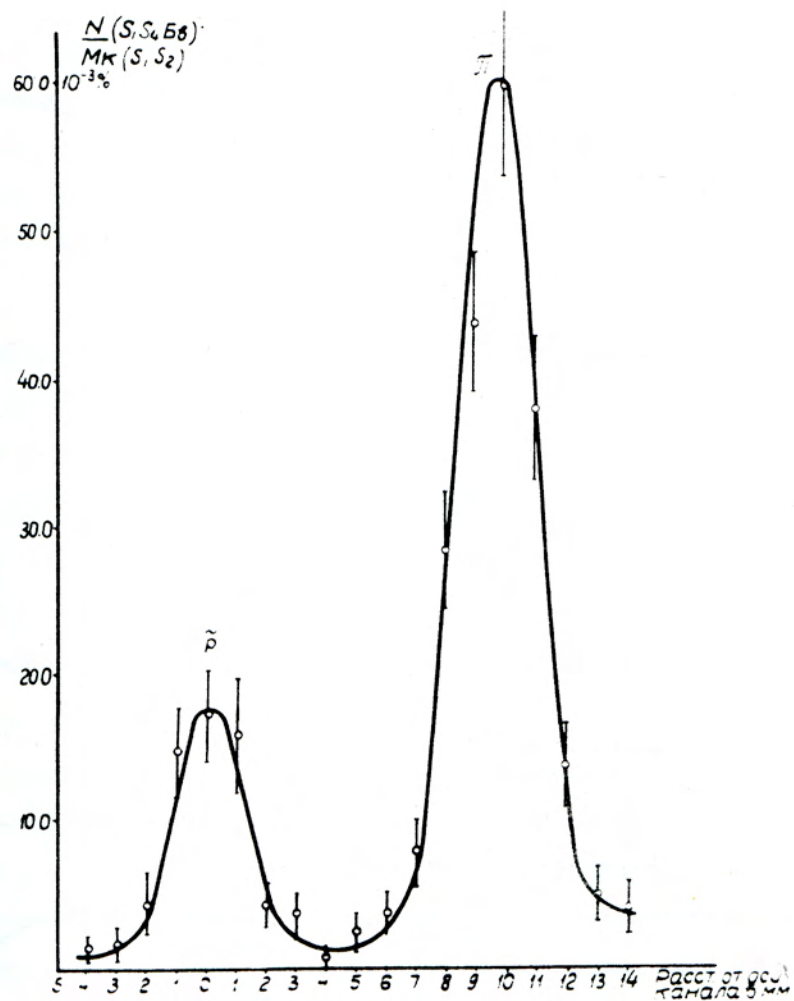


Рис. 42. Разделение и состав пучка в 2,75 Гэв/с антипротонном канале (на второй массовой щели).

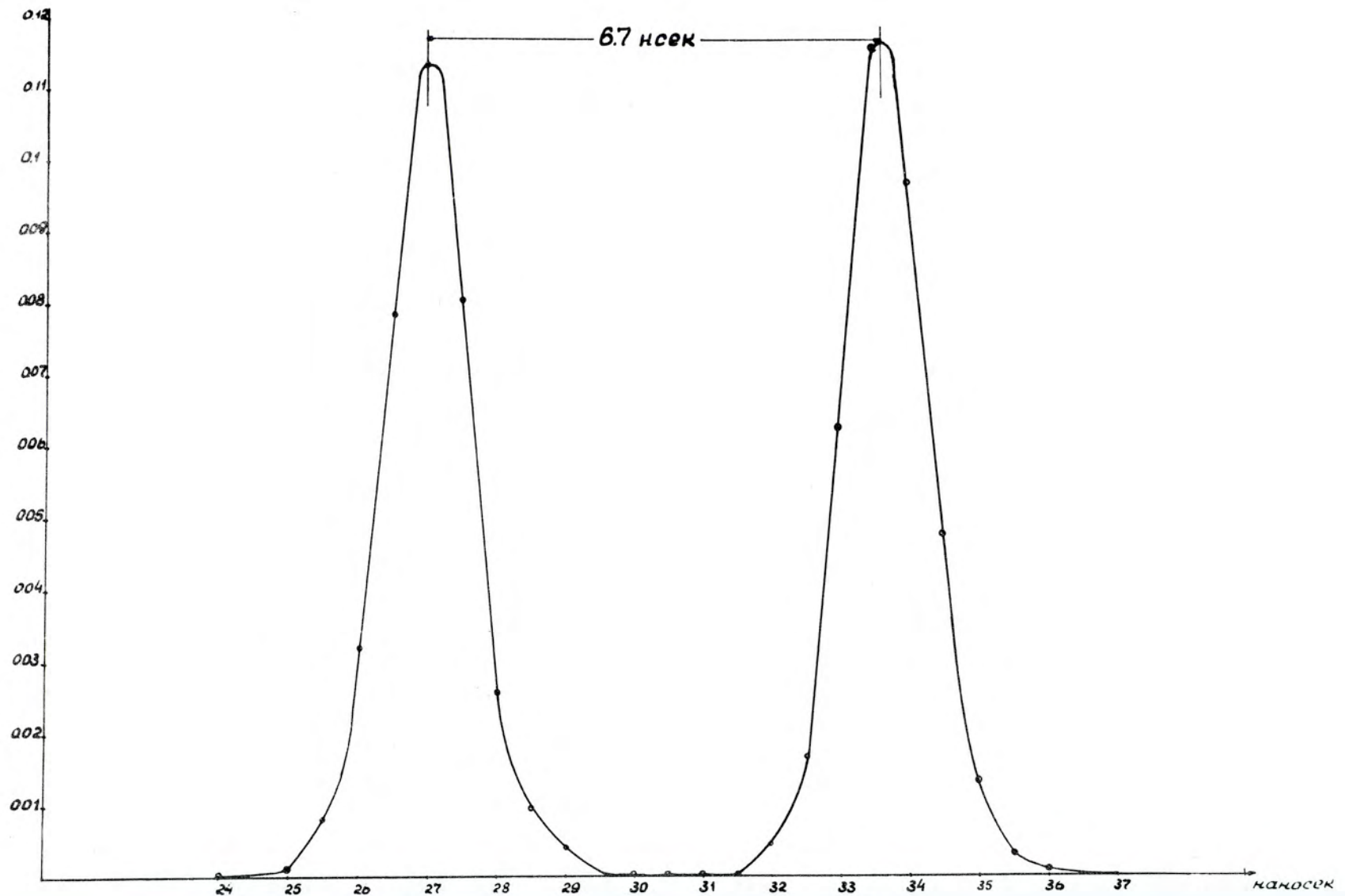


Рис. 43. Высокочастотная структура частиц с импульсом 4,95 Гэв/с в электродинамическом сепараторе.

а) Система краткого ускорения. Опробован режим работы синхрофазotronа на частоте 150 Мгц. Коэффициент захвата частиц при переходе из режима ускорения на первой кратности ( $f \approx 1,4$  Мгц) на кратную частоту составляет  $\geq 70\%$ , измерена высокочастотная структура вторичного пучка частиц  $pc = 4,95$  Гэв (рис. 43).

б) Опробовано при работе с пучком отклоняющее устройство (8 резонаторов), получена величина отклонения частиц с импульсом 4,95 Гэв  $\approx 10$  см (рис. 44).

в) Проведена настройка оптики канала и получены размеры изображения: по вертикали 25 мм, по горизонтали 20 мм.

В декабре был произведен совместный запуск всех систем и устройств электродинамического сепаратора и получен сепарированный пучок антипротонов. В течение длительного времени все системы сепаратора работали устойчиво. Проведенный пуск сепаратора подтвердил правильность основных принципов его работы. В настоящее время продолжается работа по уменьшению фона, увеличению интенсивности частиц до проектных условий.

4. Двухметровая пропановая камера. Завершены работы по сдаче 2-метровой пропановой камеры в регулярную эксплуатацию. Проведены пробные пуски камеры в магнитном поле совместно с 3 - Гэвным антипротонным каналом. Сделано около 1500 фотографий.

В настоящее время ведутся работы по улучшению фоновых условий работы камеры совместно с антипротонным каналом, а также подготовка к составлению программ геометрической обработки событий, зафиксированных в камере. Эффективность регистрации  $\gamma$ -квантов в большой пропановой камере видна из рис. 45,46.

5. Метровая жидкководородная пузырьковая камера. В марте 1965 года был проведен второй запуск метровой камеры на пучке отрицательных пионов с импульсом 5 Гэв/с, транспортированных через антипротонный канал. Камера запускалась без магнитного поля и проработала трое суток в различных режимах. Получены фотографии пучковых частиц (рис. 47). Во время пуска отрабатывались системы управления камерой совместно с ускорителем. Была проведена наладка системы питания магнита, включая стабилизацию тока. Система питания работает в пределах технического задания.

Проведены магнитные измерения. Измерена топография магнитного поля в рабочем объеме камеры с шагом 50 мм в направлениях  $x$ ,  $y$ . В средней плоскости объема камеры величина поля может поддерживаться порядка 19000 эрстед с однородностью в плоскости ХУ не хуже чем 0,2%. В направлении оси фотографирования неоднородность поля составляет около 4%, причем с изменением координаты неоднородность меняется линейно. В настоящее время работы по укреплению катушек окончены,

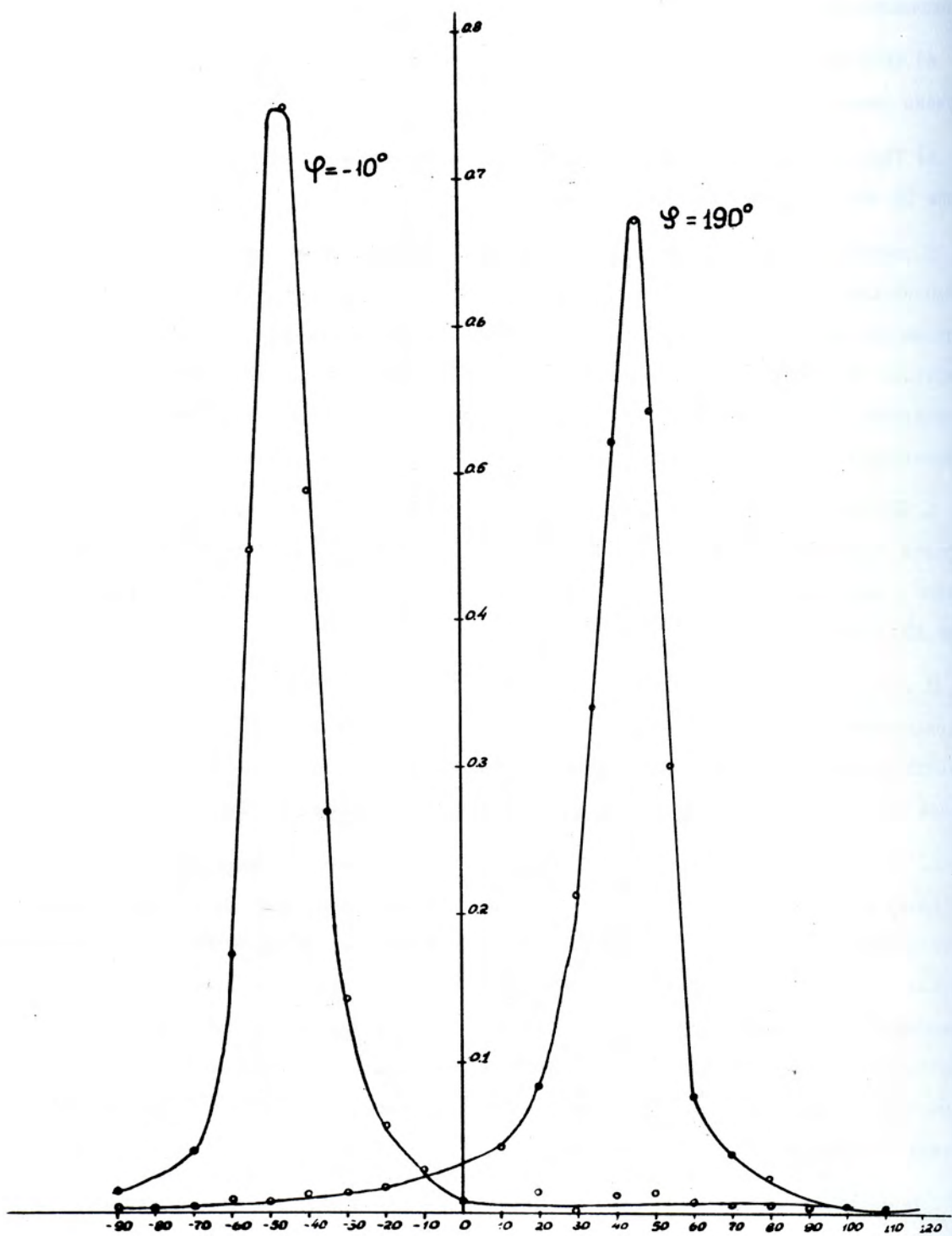


Рис. 44. Отклонение пучка частиц с импульсом 4,95 Гэв/с в зависимости от сдвига фаз  $\phi$  между системой кратного ускорения и отклоняющим устройством.

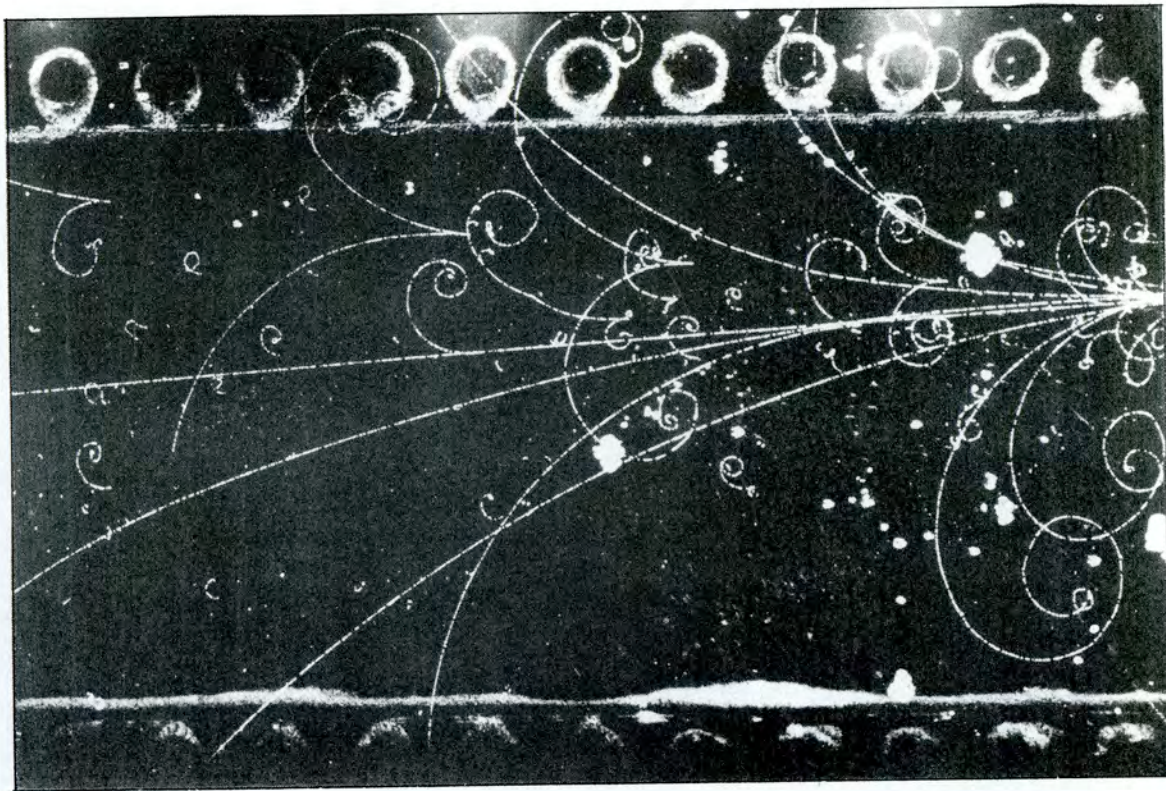


Рис. 45. Фотография электронно-фотонного ливня в 2-метровой пропановой камере.

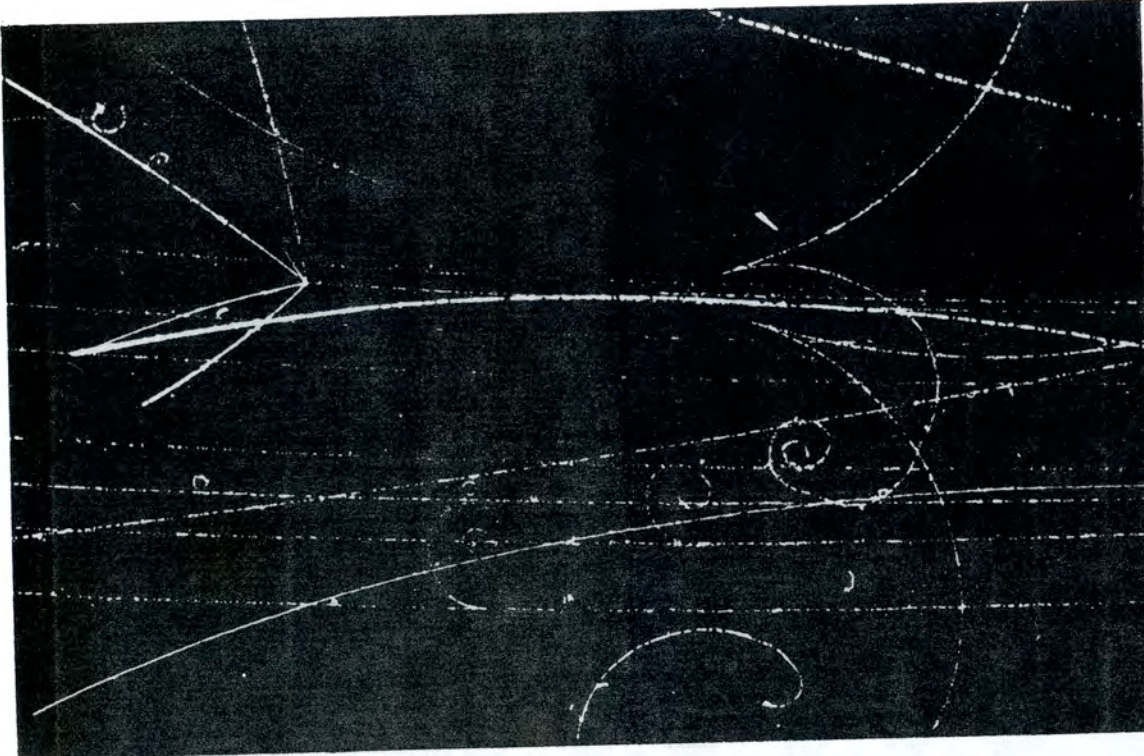


Рис. 46. Фотография трех  $\gamma$ -квантов от 0-лучевой звезды в 2-метровой пропановой камере.

камера подготовлена к эксплуатации. Совместно с отделом измерений и Вычислительным центром ОИЯИ ведется разработка геометрической программы, учитывающей неоднородность магнитного поля, дисторсии оптической системы, ионизационные потери и многократное кулоновское рассеяние.

6. Аппаратура с бесфильмовыми искровыми камерами для исследований  $\pi^-$ -рассеяния на угол  $180^\circ$ . Разработано два варианта бесфильмовых искровых камер проволочного типа. В спектрометре протонов отдачи будут использованы проволочные камеры со съемом информации с помощью ферритовых колец. Для детектированных рассеянных назад  $\pi^-$ -мезонов будут использованы проволочные камеры с магнитострикционными линиями. Опробованные системы показали высокие эффективности работы и точности измерений координат. Комплекс разработанной аппаратуры (рис. 48, 49) позволяет проводить исследования  $\pi^-$ -рассеяния назад без использования электронных вычислительных машин.

7. Аппаратура для исследования редких распадов  $K_2^0$ -мезонов. Исследовались различные системы искровых камер, в том числе с большими промежутками и изотропные. Получены характеристики этих камер при различных наполнениях и условиях работы.

8. Аппаратура для исследования радиационных распадов бозонных резонансов. Для исследования радиационных распадов бозонных резонансов типа  $\chi^0 \rightarrow 2\gamma$  и аналогичных им разработаны и испытаны системы искровых камер с большими промежутками, работающие совместно с большими черенковскими счетчиками полного поглощения и предназначенные для измерений углов вылета и энергии  $\gamma$ -квантов (и электронов). Испытания аппаратуры показали ее высокие угловые ( $0,1^\circ$ ) и энергетические разрешения (~ 5%).

### Метод работы

1. Двухметровая жидколоводородная пузырьковая камера. Изготавливались узлы камеры на заводах СССР и в ЦЭМ ОИЯИ.

2. Автоматизация обработки экспериментальных данных. Велись работы по следующим направлениям:

- а) разработка системы работы 10 полуавтоматов с монтируемой в ЛВЭ машиной БЭСМ-3М;
- б) разработка системы НРД;
- в) подготовка к экспериментам с БЭСМ-3М с физическими установками на линии;

г) создание измерительного центра;

д) разработка различных электронных схем для проведения физических экспериментов.

### 3. Работы по криогенной технике:

а) исследовательские работы, связанные с разработкой и усовершенствованием жидкокводородных пузырьковых камер и мишней;

б) разработка дюарной системы теплоизоляции для 2-метровой водородной камеры;

в) подготовка к работам по криогенным системам многокубовой жидкокводородной пузырьковой камеры;

г) эксплуатация 40-сантиметровой водородной камеры и водородно-гелиевых охлаждающих установок. Охужено 15000 литров жидкого водорода и 4400 литров жидкого гелия;

д) работы по сверхпроводящим материалам. Закончены исследования (совместно с кафедрой металловедения МИФИ при участии сотрудников Института ядерных исследований ЧСАН) сверхпроводящих ниобий-циркониевых сплавов с большим содержанием циркония. Сплав обладает высокими сверхпроводящими показателями (см. рис. 50) и весьма технологичен. На базе этого сплава изготовлен сверхпроводящий магнит с полем 85 кгс (см. рис. 51 и 52). Проведенные исследования создают реальную основу для использования сверхпроводящих устройств в ОИЯИ.

### Работы по улучшению параметров синхрофазотрона

В 1965 году проведен ряд усовершенствований различных узлов синхрофазотрона и внедрены новые режимы его работы. Эти мероприятия позволили существенно улучшить эксплуатационные характеристики синхрофазотрона. Ниже дается перечень основных мероприятий по этому направлению работ в лаборатории.

1. Осуществлен перевод системы электропитания с 7 кв на 8,2 кв, что позволило увеличить частоту циклов на 10%. Существенно улучшен вакуум в камере синхрофазотрона (с  $6 - 7 \cdot 10^{-6}$  до  $1 \cdot 10^{-6}$  мм рт. ст.).

2. Разработана и введена в эксплуатацию система стабилизации отсечки по величине магнитного поля ускорителя Н и программное регулирование его производной Н в режиме "стола".

3. Разработан и исследован новый тип индукционных электродов (рис. 53), являющихся элементом датчика информации о положении орбиты пучка, который работает в условиях сильных магнитных полей.

4. Теоретически исследован и практически осуществлен новый метод калибровки индукционных электродов.

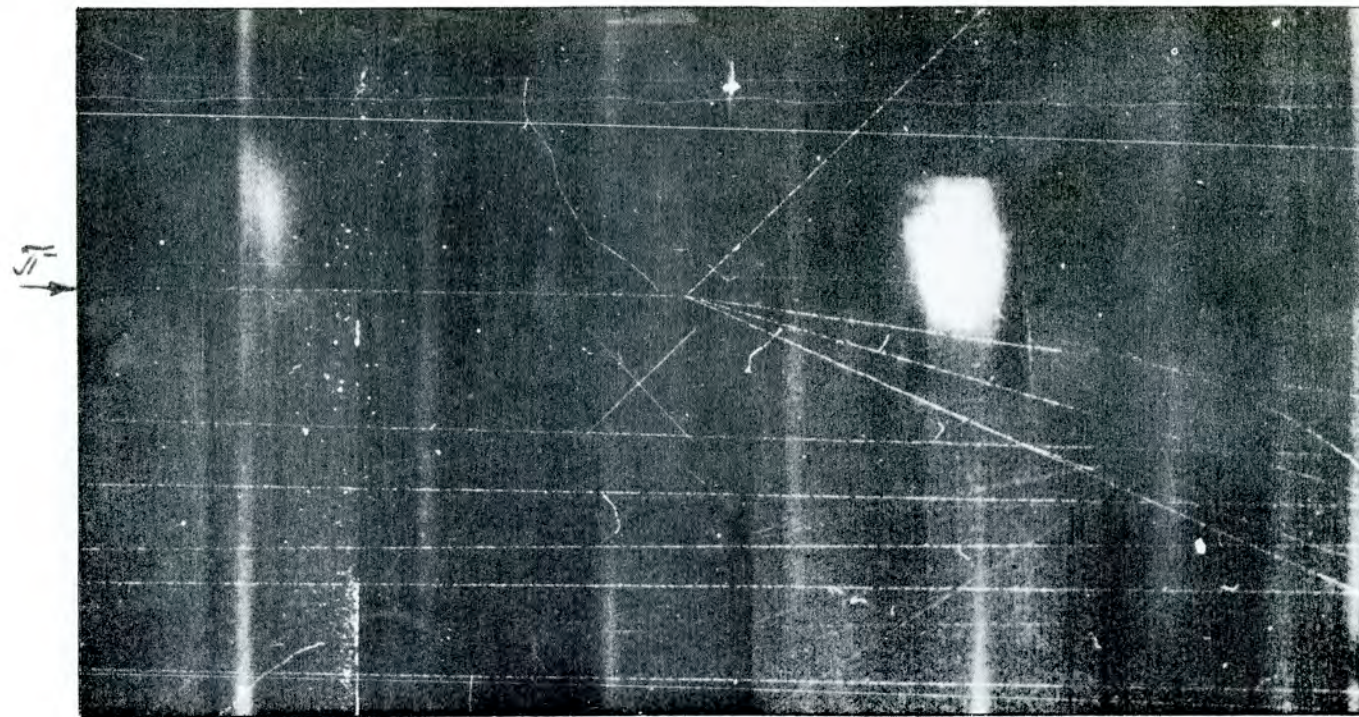


Рис. 47. Фотография частиц пучка в 1-метровой жидковородной камере. Четырехлучевое взаимодействие  $\pi^-$ -мезона с протоном при импульсе 5 ГэВ/с (без магнитного поля).

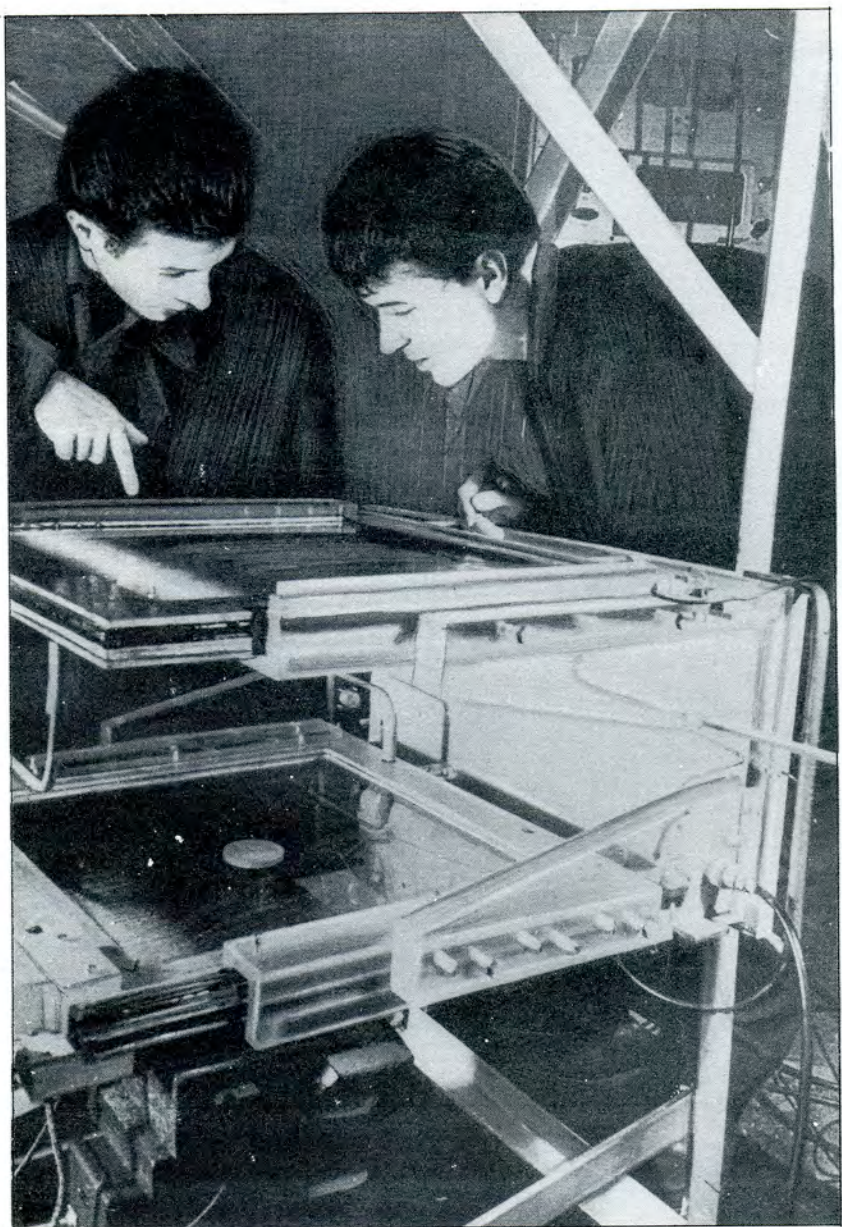


Рис. 48. Магнитострикционная камера.

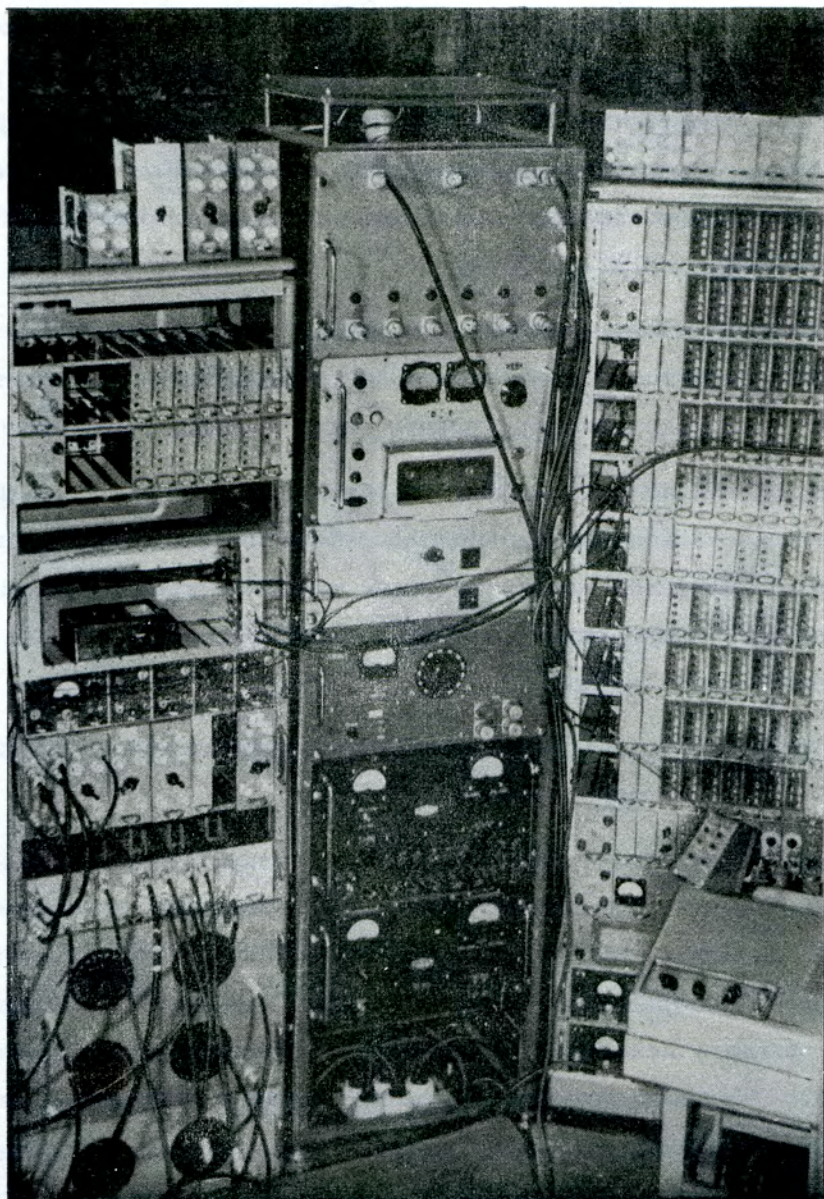


Рис. 49. Комплекс аппаратуры для исследования  $\pi^- p$ -рассеяния назад.

5. Осуществлено исследование режима вторичного захвата и ускорения частиц в режиме "стола" магнитного поля после взаимодействия части пучка с мишенью в отсутствие ускоряющего электрического поля. Показана возможность осуществления такого режима (рис. 54).

6. Введена в эксплуатацию аппаратура для подавления когерентных фазовых колебаний пучка ускоряемых протонов, которая позволила улучшить параметры пучка в конце ускорения (рис. 55).

Фазовый размер  $\theta^0$  уменьшен с 140 до  $70^0$ , соответственно радиальный размер (по амплитудам фазовых колебаний) - с 40 до 16 мм, энергетический разброс в пучке с  $\pm 2,8$  до  $\pm 0,9$  Мэв. Подавление колебаний позволяет снизить амплитуду ускоряющего напряжения в 1,7 раза. Улучшение характеристик пучка позволило увеличить захват частиц в режим кратного ускорения для сепарации антипротонов до 70% при снижении напряжения на резонаторе с 250 до 70 кв.

7. Введена в эксплуатацию система "Эстафета", осуществляющая переход на ускорение с постоянной частотой, что обеспечивает повышенную стабильность захвата пучка в режим кратного ускорения при работе систем сепаратора антипротонов.

8. Выполнены работы по физическому обоснованию быстрого вывода пучка протонов из синхрофазотрона. Закончены проектные работы по созданию магнита дефлектора и другой аппаратуры. Завершен расчет системы транспортировки выведенного пучка в измерительный павильон (нейтронный). Выдано техническое задание на проектирование элементов ионно-оптической системы.

9. Разработано устройство для калибровки интенсивности пучка при облучении эмульсий на уровне  $10^5 - 10^6$  частиц в импульсе.

10. Для линейного ускорителя на 20 Мэв с жесткой фокусировкой выполнен ряд теоретических, проектных и конструкторских работ: проведено экспериментальное определение частотных характеристик резонатора; изготовлены рабочие чертежи резонатора; произведен расчет ускоряющей системы (трубок дрейфа); произведен расчет фазового движения частиц в линейном ускорителе и определен энергетический спектр частиц на выходе из ЛУ; закончена экспериментальная и теоретическая работа по определению оптимальных параметров линз жесткой фокусировки ускоряюще-фокусирующего канала (на рисунке 56 показана дрейфовая трубка с линзой); разработаны и сданы в производство рабочие чертежи вакуумного бака для резонатора.

Зависимость  $\mu(H)$  для проволоки из Nb-75% Zr

$1\alpha$ - образец N510	}	$T=4,2^{\circ}\text{K}$
$1\beta$ - соленоид D N510		
$1\delta$ - коэф. деградации N510 сол. D		
$2\alpha$ - образец N520		
$2\beta$ - соленоид В N520		
$2\delta$ - коэф. деградации N520 сол. В		

$2\gamma$ - соленоид А N520	}	$T=4,2^{\circ}\text{K}$
$2\eta$ - коэф. деградации соленоида А N520		
$2\epsilon$ - образец N520		

$2\chi$ - соленоид А N520	}	$T=1,7^{\circ}\text{K}$
$2\zeta$ - соленоид В N520		

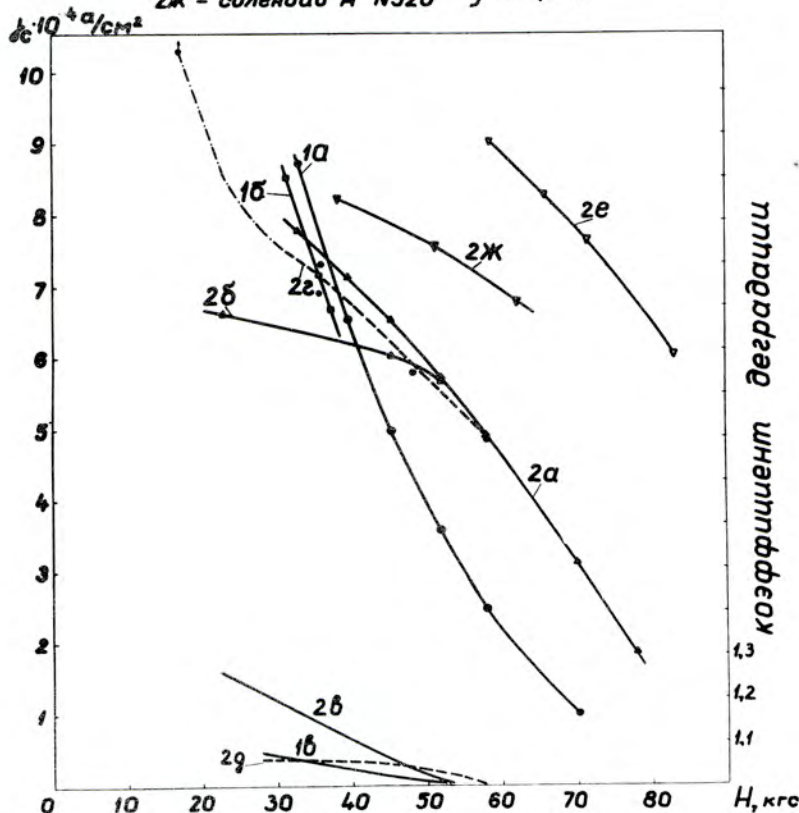
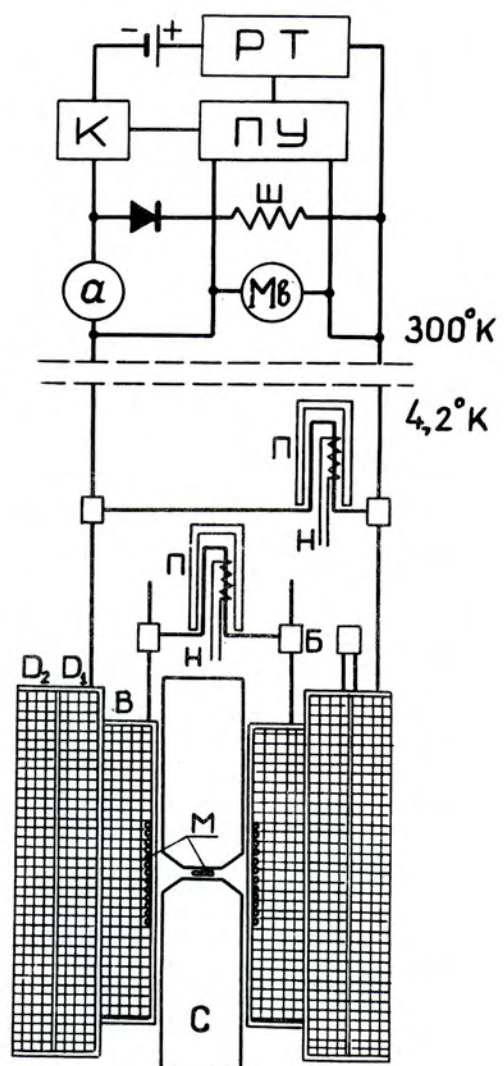


Рис. 50.



*Блок-схема  
управления соленоидом*

Рис. 51.

**Таблица  
характеристики соленоида  
из Nb-75Zr**

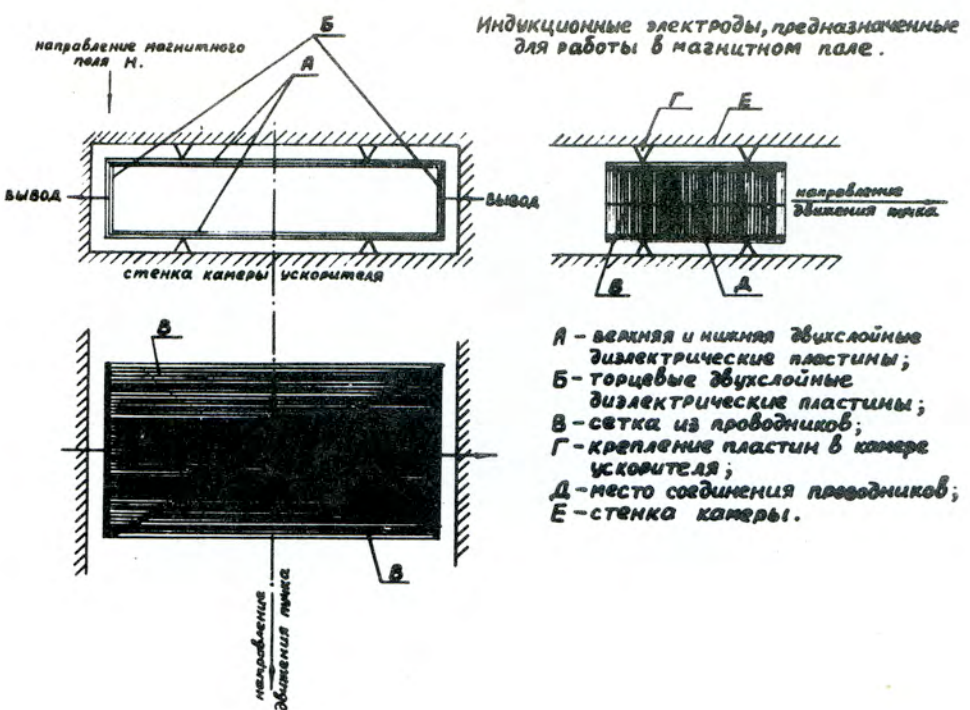
секция	диаметр ф мм	над. ф мм.	длина мм.	число витков	коэф заполн ения	ф проб Nb-Zr крем ни	площ стечек $10^{-4}$ см <sup>2</sup>	H/I кгс/а	крит ток (4,2°К) а	H кгс
A	9	18	48	728	0,29	0,33	8,5	0,19	>90	>17
B	20	38	64	2145	0,28	0,33	8,5	0,41	60	24,5
D <sub>1</sub>	42	61	74	3480	0,33	0,29	6,6	0,54	58	30,8
D <sub>2</sub>	61	75	74	2393	0,33	0,29	6,6	0,30	54	16,2

секция	соединение и питание	T °К	крит ток а	H кгс
D <sub>1</sub> +D <sub>2</sub> = D	последовательно	4,2	436	36,6
B+D	последовательно	4,2	42,5	53
		4,05	46	57,5
(B+D) +A	питание раздельно	4,2	40 42	58
(B+D) +A	питание раздельно	1,7	41 58	62
Вклад полюсов (при I <sub>сол</sub> > 2a)				27,5
B+D + полюса			4,05	85

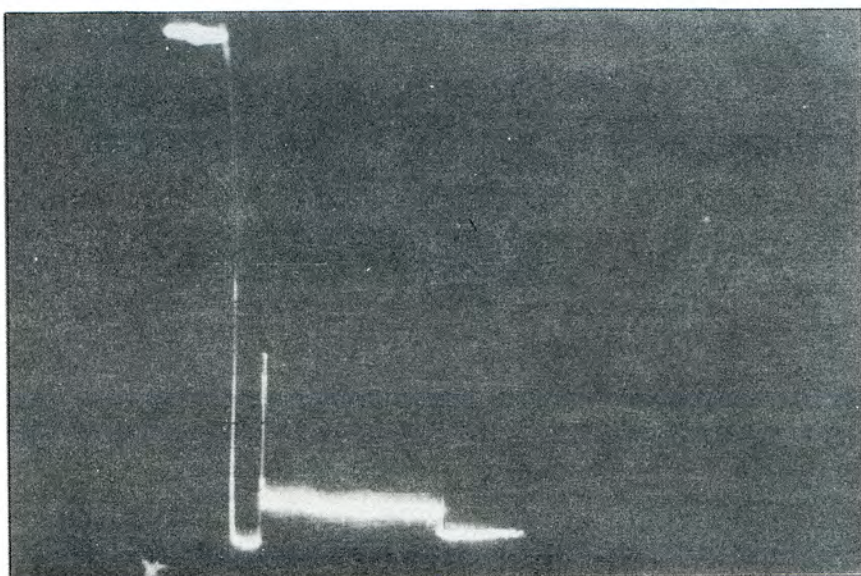
Рис. 52.

Показатели работы синхрофазотрона в 1965 году

	Часы	Проценты
Запланированное время работы	6277	100
Время простоя оборудования эксплуатационных отделов	394	6,3
Затраты времени на технологическую подготовку синхрофазотрона к работе и подготовку к работе исследовательской аппаратуры	395	6,3
Время работы на эксперимент	5488	87,4
из них:		
а) время работы на экспериментальные исследования физиков	5050	80,4
б) время работы на исследования режимов работы ускорителя и усовершенствование его оборудования	438	7,0
Средняя интенсивность	$6,2 \cdot 10^{10}$	протонов/цик
Максимальная интенсивность	$1 : 10^{11}$	протонов/цик
Средняя длительность цикла	8,8 сек	



ис. 53. Индукционные электроды, предназначенные для работы в магнитном поле.



ис. 54. Осциллограмма сигнала интенсивности с индукционных электродов при повторном захвате частицы на столе магнитного поля в синхрофазotronный режим.

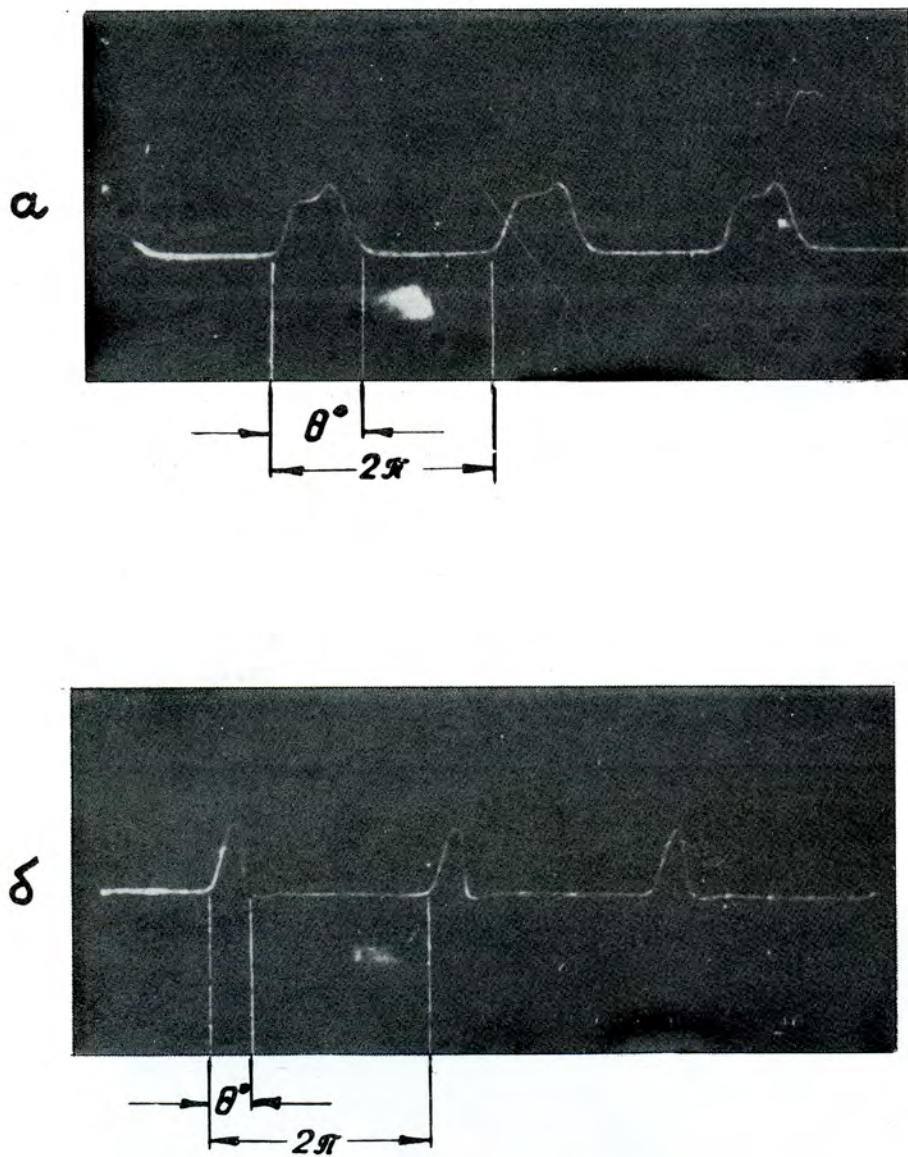


Рис. 55. Осциллограммы сигнала пучка на индукционном электроде в конце цикла ускорения при выключенной (а) и включенной (б) обратной связи.

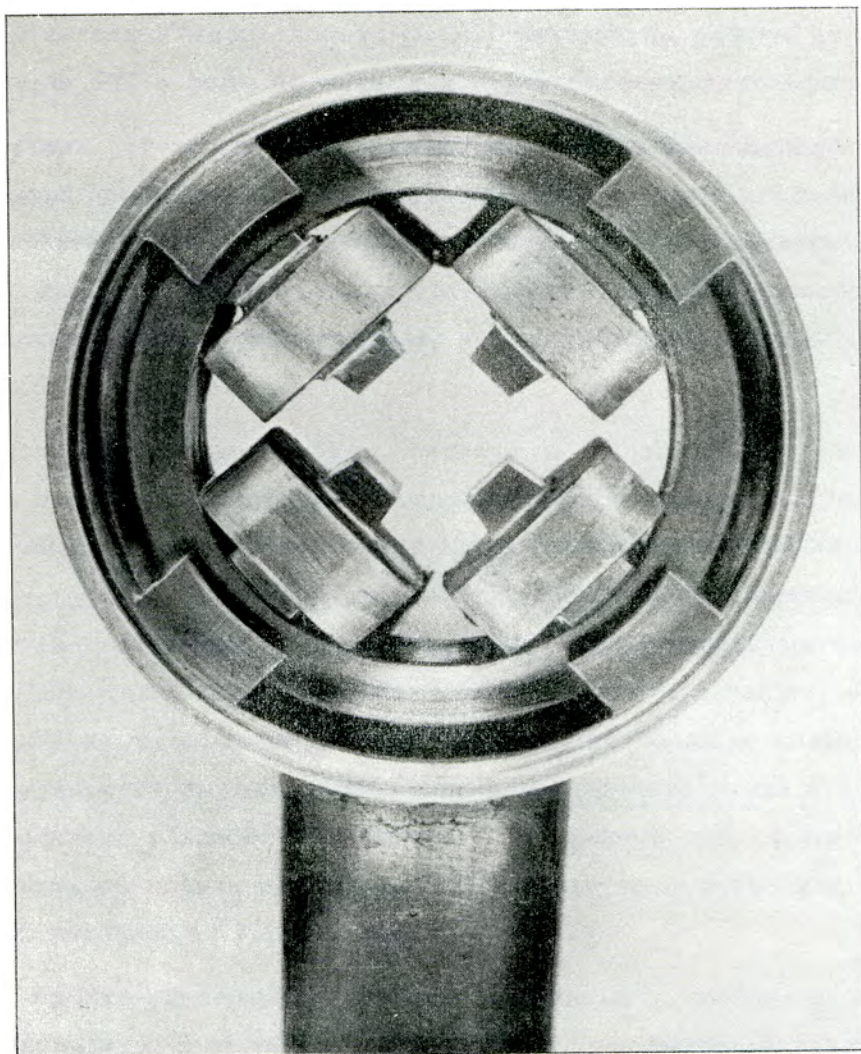


Рис. 56. Дрейфовая трубка с линзой.